

## 超高压数字锁存霍尔传感器

### 1. 产品特性

- AEC-Q100车规认证
- 超高耐压：240V
- 宽电压范围：4.0V 至 120V
- 高斩波频率
- 宽工作温度范围：-40-150°C
- EMC 性能良好
- 小封装形式：
  - TO-92S (UA)
  - SOT23-3L (SO)

### 2. 产品应用

- 汽车电子
- 阀门及电磁阀状态检测
- 无刷电机位置传感器
- 接近开关
- 转速表

### 3. 产品描述

SC1919采用超高压BiCMOS技术生产，是斩波稳定霍尔效应传感器，提供具有卓越灵敏度、温度稳定性和综合保护功能的磁传感解决方案。

通过动态偏移抵消，可以实现卓越的高温性能，有效降低了由器件注塑、温度和热应力引起的失调电压。每个器件在单个硅芯片上包括一个高压稳压器，霍尔电压发生器，小信号放大器，斩波稳定器，施密特触发器，和一个可达到10mA灌电流能力的漏极输出。

集成稳压器允许电源电压4.0V至120V，使该器件适用于广泛的工业和汽车应用。

SC1919提供小型3脚直插TO-92S封装（UA）和3脚SOT23-3L（SO）封装，100% 无卤绿色框架，符合环保要求。



图1 封装外观图

## 目录

1. 产品特性.....	1	10. 特性曲线.....	7
2. 产品应用.....	1	11. 功能框图.....	8
3. 产品描述.....	1	12. 功能描述.....	8
4. 引脚定义.....	3	12.1. 磁场方向定义.....	9
5. 订购信息.....	4	12.2. 传输函数.....	9
6. 极限参数.....	5	13. 典型应用.....	10
7. 静电保护.....	5	14. 封装信息“UA”.....	11
8. 热特性.....	5	15. 封装信息“SO”.....	12
9. 工作参数.....	6	16. 历史版本.....	13
9.1. 电参数.....	6		
9.2. 磁参数.....	6		

## 4. 引脚定义

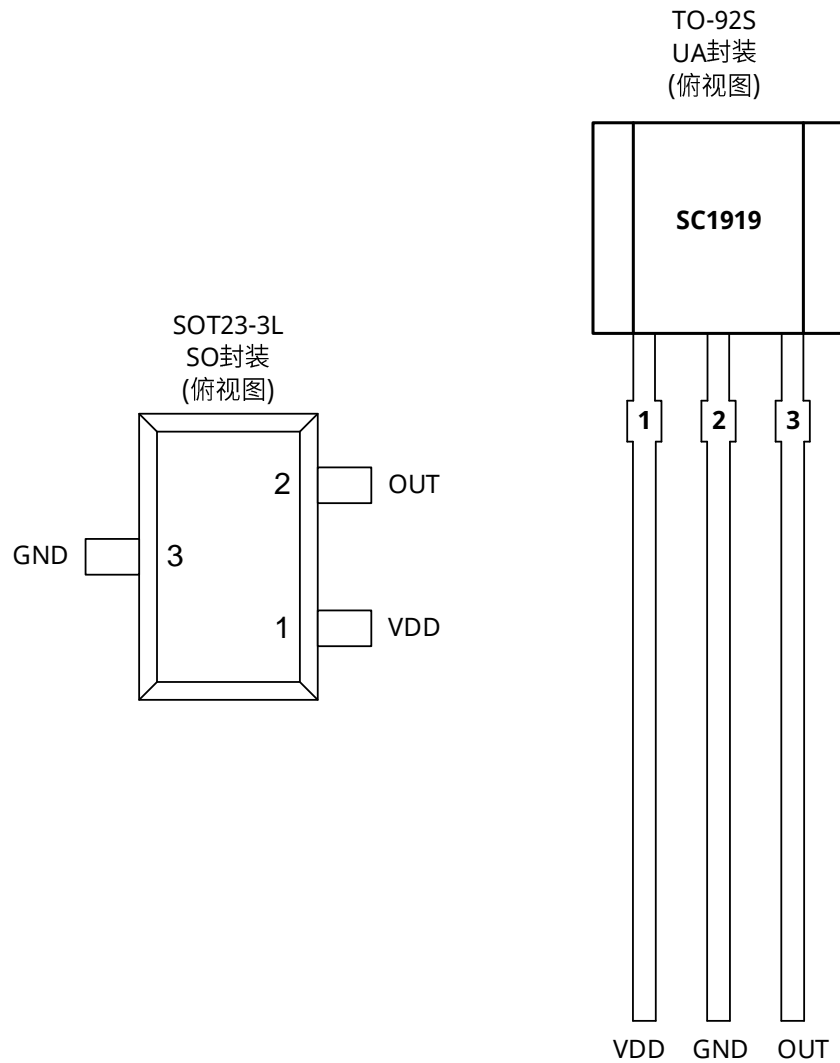


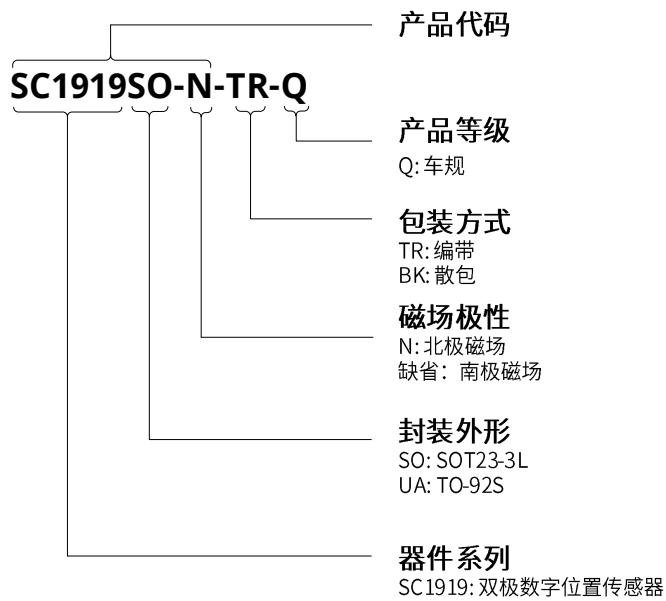
图2 引脚描述

引脚			类型	描述
名称	UA	SO		
VDD	1	1	电源	4.0V ~ 120V 供电电源
GND	2	3	地	地
OUT	3	2	输出	漏极开路输出，使用需要外接上拉电阻

## 5. 订购信息

产品名称	丝印	等级	B <sub>OP</sub> (Gs)	B <sub>RP</sub> (Gs)	工作温度(°C)	封装形式	包装方式	数量
SC1919SO-N-TR-Q	919H	Q	-70	70	-40~150	SOT23-3L	编带	3000 颗/盘
SC1919UA-BK-Q	919H	Q	70	-70	-40~150	TO-92S	散包	1000 颗/袋

### 订购信息格式说明



## 6. 极限参数

(工作温度范围内( $V_{DD} = 5.0V$ , 除非另有说明)<sup>(1)</sup>)

符号	参数	测试条件	最小值	最大值	单位
$V_{DD}$	电源耐压		-0.5	240	V
$V_{OUT}$	输出耐压	1.0K 欧姆上拉电阻, 不超过 5 分钟	-0.5	240	V
$I_{sink}$	输出灌电流		-	10	mA
$T_A$	工作温度		-40	150	°C
$T_J$	工作结温		-55	165	°C
$T_{STG}$	储存温度		-65	175	°C

备注:

(1) 高于此处列出的条件可能会导致器件永久损坏, 长时间暴露在绝对最大额定值条件下可能会影响器件的可靠性。

## 7. 静电保护

符号	参数	测试条件	最小值	最大值	单位
$V_{ESD\_HBM}$	HBM	参照 AEC-Q100-002E HBM 标准, $R=1.5k\Omega$ , $C=100pF$	-2	2	kV
$V_{ESD\_CDM}$	CDM	参照 AEC-Q100-011C CDM 标准	-750	750	V

## 8. 热特性

符号	参数	测试条件	值	单位
$R_{\theta JA}$	UA 封装热阻	单层 PCB, 覆铜限制在焊盘上	166 <sup>(1)</sup>	°C/W
	SO 封装热阻	单层 PCB, 覆铜限制在焊盘上	228 <sup>(1)</sup>	°C/W

备注:

(1) 最大工作电压必须满足功耗和结温的要求

## 9. 工作参数

### 9.1. 电参数

工作温度范围, ( $V_{DD} = 5.0V$ , 除非另有说明)

符号	参数	测试条件	最小值	典型值 <sup>(1)</sup>	最大值	单位
$V_{DD}$	工作电压 <sup>(2)</sup>	$T_J < T_{J(Max)}$	4.0	-	120	V
$I_{DD(off)}$	Off 状态, 工作电流	$V_{DD}=4.0$ to 24V, $T_A=25^\circ C$	0.8	1.52	2.0	mA
$I_{DD(on)}$	On 状态, 工作电流	$V_{DD}=2.5$ to 24V, $T_A=25^\circ C$	0.8	1.52	2.0	mA
		$V_{DD}=48V$ , $T_A=25^\circ C$		1.63		mA
$I_{QL}$	漏电流	Output Hi-Z	-	-	1	$\mu A$
$R_{DS(on)}$	场效应管导通电阻	$V_{DD}=5V$ , $I_O=10mA$ , $T_A=25^\circ C$	-	40	-	$\Omega$
$R_{DS(on)}$	场效应管导通电阻	$V_{DD}=5V$ , $I_O=10mA$ , $T_A=125^\circ C$	-	70	-	$\Omega$
$t_{on}$	上电时间	$V_{DD} \geq 5.0V$	-	35	50	$\mu s$
$t_d$	输出延迟时间	$B_{RP}$ to $B_{OP}$	-	3	5	$\mu s$
$t_r$	输出上升沿时间 (10% to 90%)	$R1=1Kohm$ , $C_o=50pF$	-	-	0.5	$\mu s$
$t_f$	输出下降时间(90% to 10%)	$R1=1Kohm$ , $C_o=50pF$	-	-	0.2	$\mu s$

备注:

(1) 典型值是环境温度  $25^\circ C$ ,  $V_{DD} = 5.0V$  条件下的测试值

(2) 工作电压必须调整最大电压的功耗和结温, 见热特性

### 9.2. 磁参数

工作温度范围, ( $V_{DD} = 5.0V$ , 除非另有说明)

符号	参数	测试条件	最小值	典型值	最大值	单位
$f_{BW}$	带宽		20	-	-	kHz
<b>SC1919</b>						
$B_{OP}$	磁场开启点	$T_A=-40^\circ C$ to $150^\circ C$	+4.0 <sup>(1)</sup>	+7.0	+10.0	mT <sup>(2)</sup>
$B_{RP}$	磁场关闭点		-10.0	-7.0	-4.0	mT
$B_{HYS}$	迟滞		8.0	14.0	20.0	mT
$B_O$	磁场对称性	$B_O=(B_{OP}+B_{RP})/2$	-3.0	0	+3.0	mT

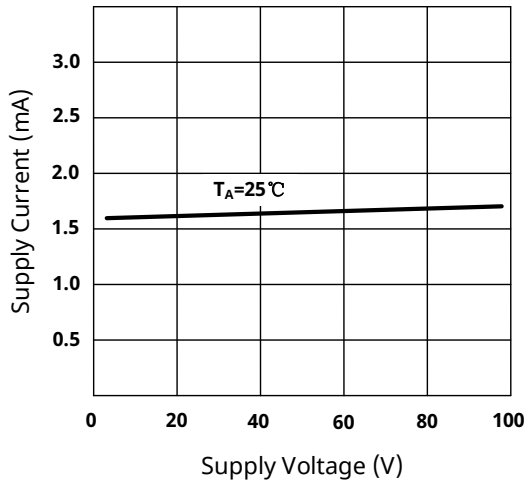
备注:

(1) 磁感应强度  $B$ , 南极性磁场为正值, 北极性磁场为负值

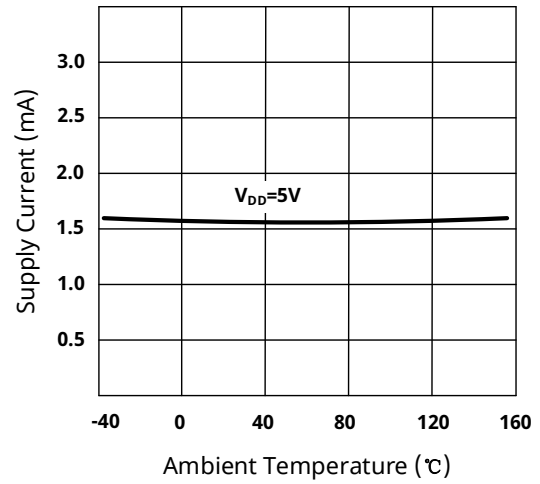
(2)  $1mT=10Gs$

### 10. 特性曲线

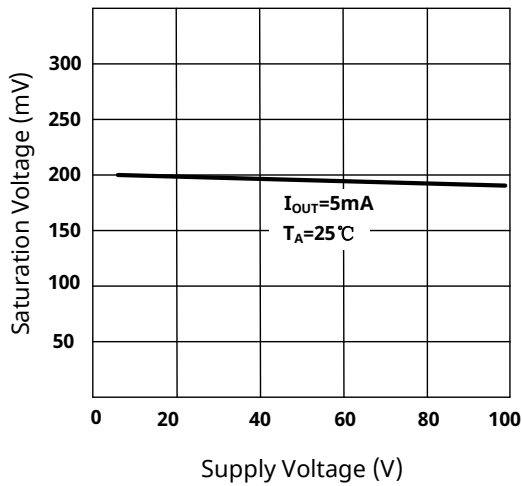
**$I_{DD}$  VS  $V_{DD}$**



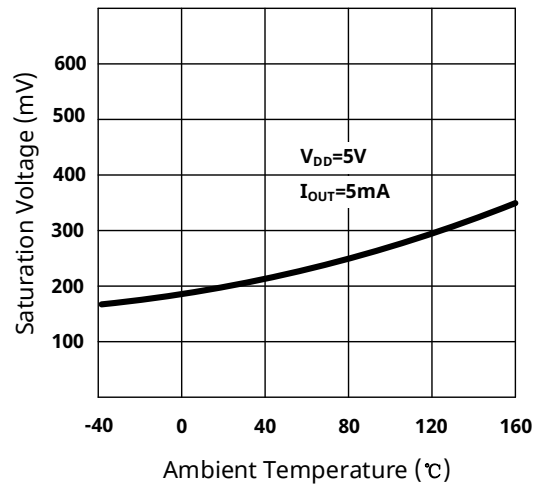
**$I_{DD}$  VS  $T_A$**



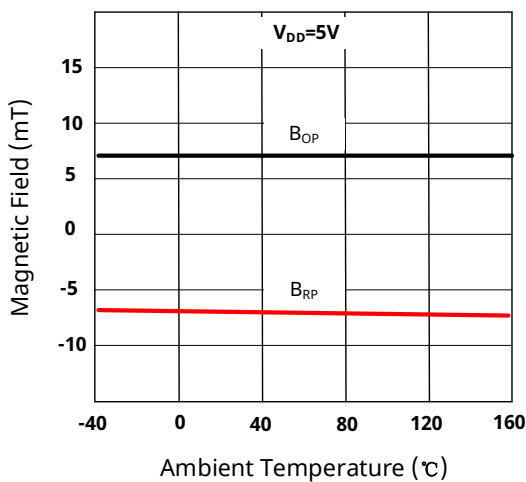
**$V_{Q(sat)}$  VS  $V_{DD}$**



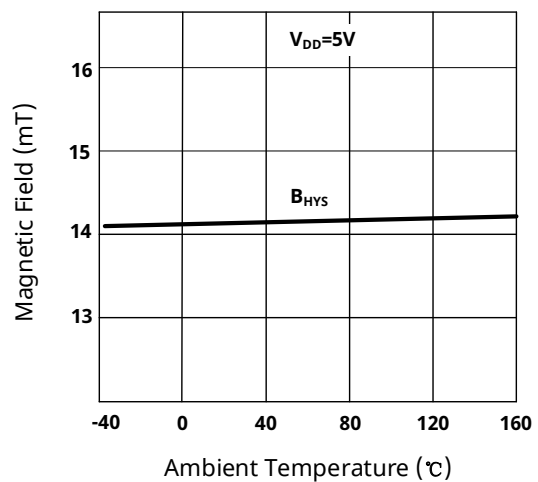
**$V_{Q(sat)}$  VS  $T_A$**



**SC1919  
 $B_{OP}$  and  $B_{RP}$  VS  $T_A$**



**SC1919  
 $B_{HYS}$  VS  $T_A$**



## 11. 功能框图

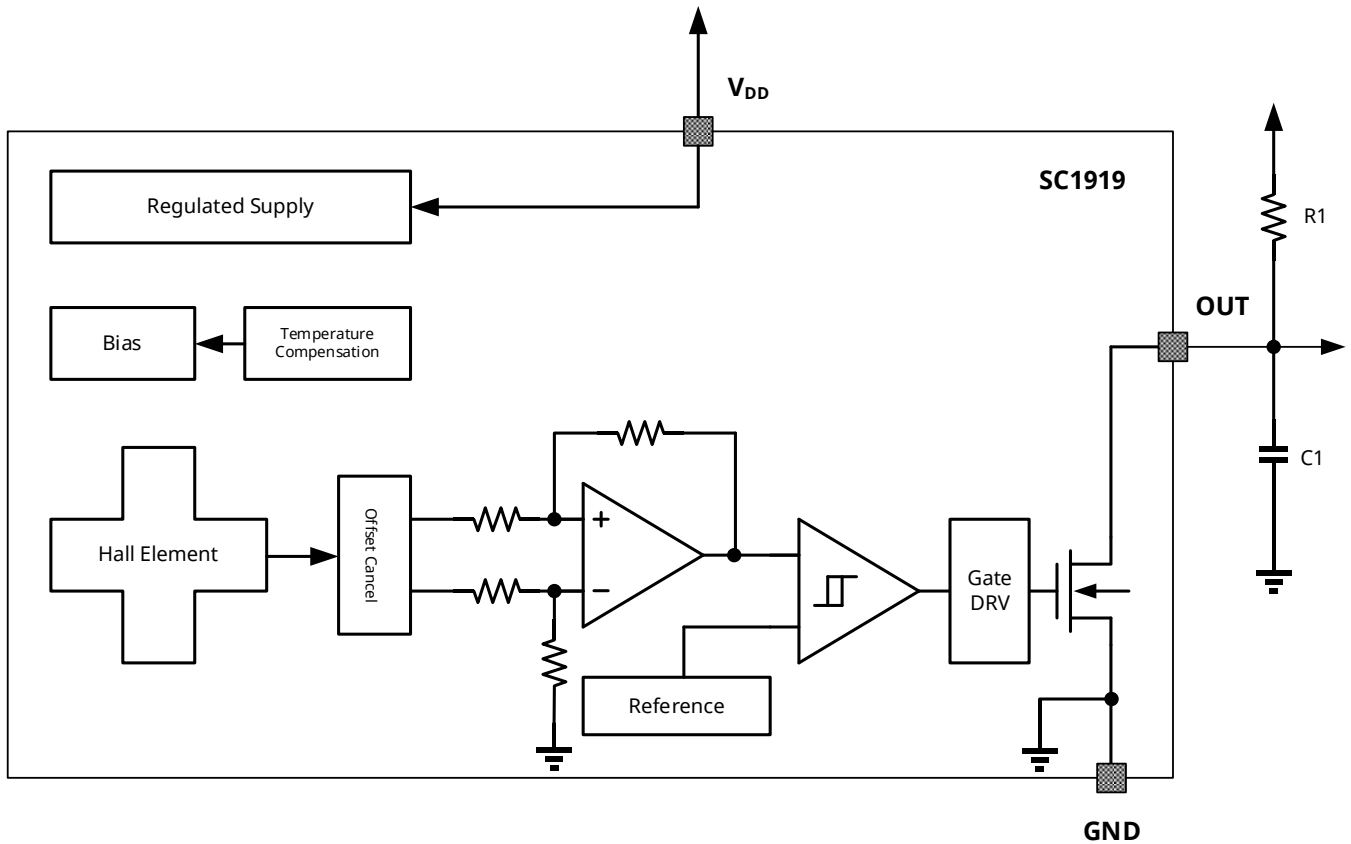


图3 功能框图

## 12. 功能描述

SC1919 芯片是一款数字锁存输出斩波稳定的磁霍尔传感器。该器件的供电电压在 4.0-120V 之间。此外，该器件可以承受高达 240V 的瞬态电压。

当垂直作用于霍尔元件的南极磁场强度超过工作点阈值时，SC1919 输出低电平(开启)，输出端可灌电流 10mA，输出电压为饱和电压  $V_{Q(sat)}$ 。当磁场强度降低到释放点  $B_{RP}$  以下时，器件输出高电平(关断)。磁场工作点和释放点的差异即为器件的磁滞  $B_{HYS}$ ，这种内建的迟滞使器件可以免受外部机械振动和电气噪声的干扰。

器件输出端需外接一个上拉电阻。输出端可以被上拉到 VDD 或其他不同的电压电源，这使得器件与控制器电路的接口更加容易。

### 12.1. 磁场方向定义

磁场 S 极正对芯片丝印面定义为正磁场。以 UA 封装，示意如下图。

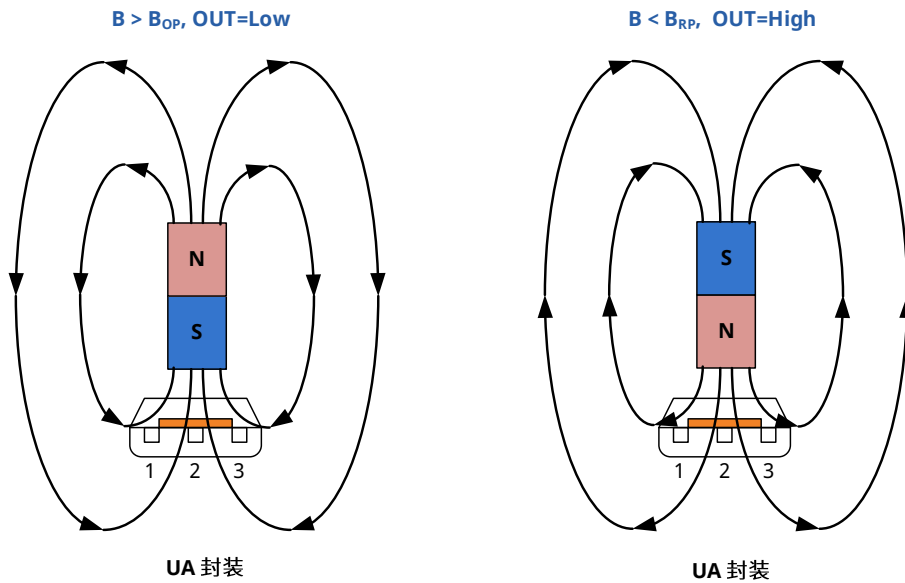


图 4 磁场方向定义图

### 12.2. 传输函数

在磁场强度小于  $B_{OP}$  且大于  $B_{RP}$  的迟滞区上电时，允许不确定的输出状态。在磁场强度第一次超出  $B_{OP}$  或  $B_{RP}$  之后，就可以达到正确的状态。如果磁场强度大于  $B_{OP}$ ，则输出被拉低。如果磁场强度小于  $B_{RP}$ ，则输出被释放。

$B_{OP}$ —磁阈值的激活器件输出，在接通(低)状态

$B_{RP}$ —磁阈值释放器件输出，关(高)状态.

$$B_{HYS} = B_{OP} - B_{RP}$$

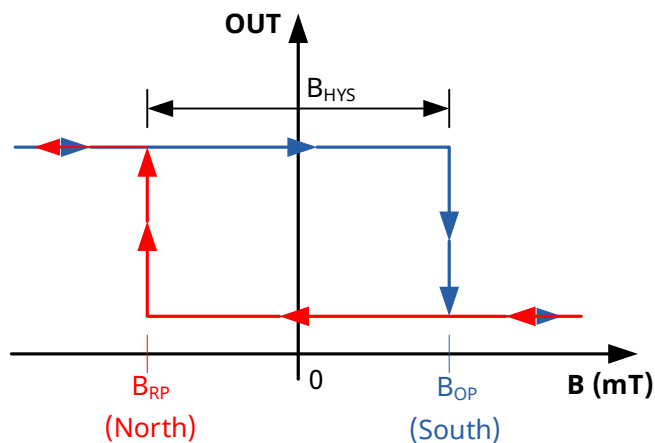


图 5 传输图

### 13. 典型应用

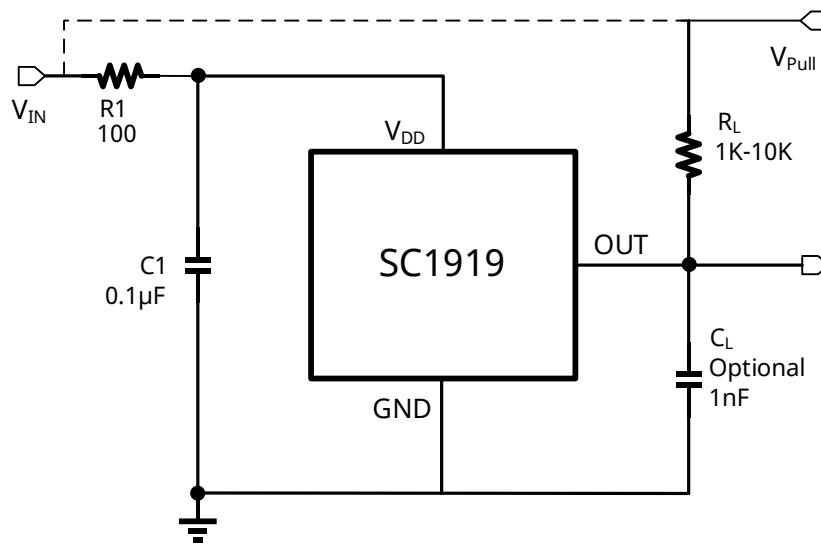


图 5 典型应用框图

SC1919 内部有电压调节器，可以在宽供电电压范围内工作。当器件工作于非稳压电源供电的应用时，必须在外部添加瞬态保护。对于使用稳压电源线路供电的应用，可能仍然需要 EMI/RFI 保护。强烈建议电源端与接地端使用外接电容，可降低外部噪声及内部斩波频率技术产生的噪声，建议靠近芯片  $V_{DD}$  电源端并联  $C_1$  电容到地，其典型值为  $0.1\mu\text{F}$ 。同时在外围可选配串联电阻  $R_1$  其典型值为  $100\Omega$ 。输出电容  $C_L$  用作输出滤波，典型值为  $1\text{nF}$ 。

根据系统带宽规范选择一个  $C_L$  值 ( $R_L=10\text{k}\Omega$ ) :

$$C_L < \frac{1}{2\pi \times R_L \times 2 \times f_{BW}(\text{Hz})}$$

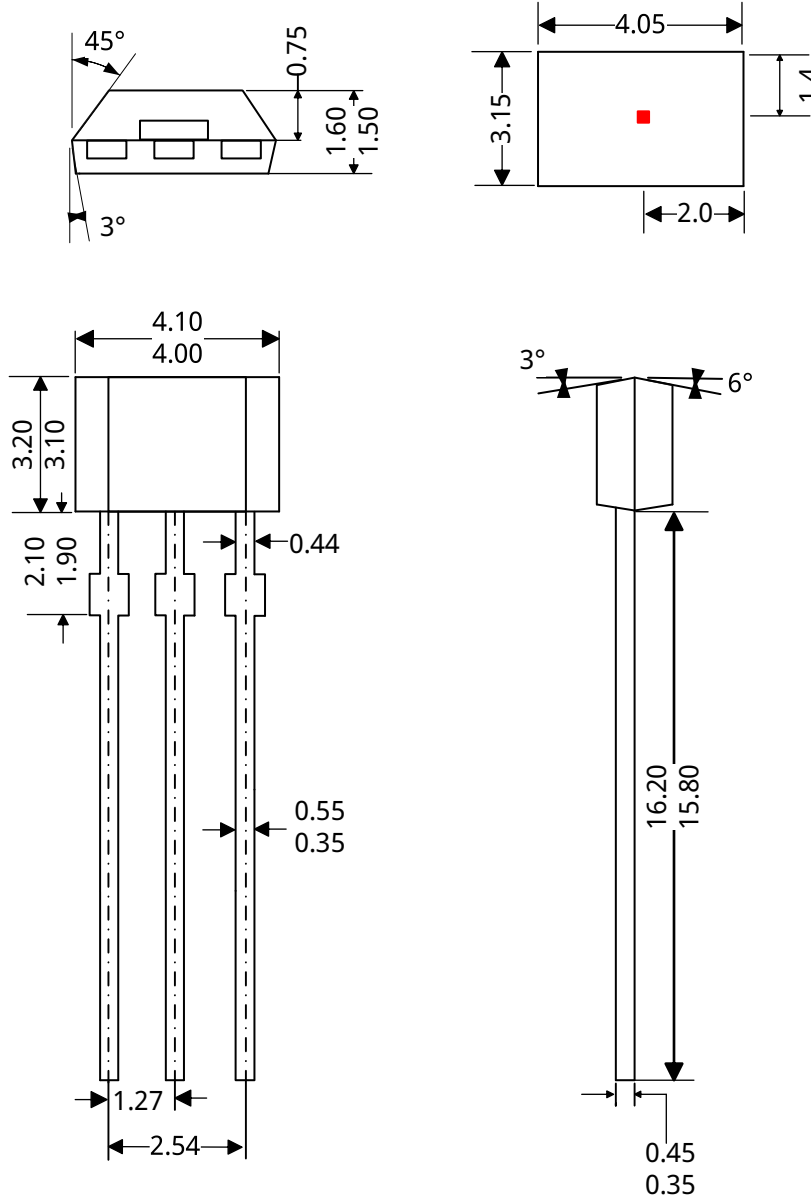
SC1919 器件的输出级是一个漏极开路 NMOS 管，可提供  $10\text{mA}$  的负载能力。调节上拉电阻  $R_L$  的值使得其正常工作。 $R_L$  为开漏输出提供一个高电平。通常情况电流越小越好，但是更快的瞬态响应和带宽需要，接更小的电阻  $R_L$  以实现更快的切换。

$V_{PULL}$  不限于  $V_{DD}$ ，可以连接到其他参考电压。该引脚的允许电压范围在极限参数中规定。

### 14. 封装信息 “UA”

3-脚  
UA封装

单位：毫米



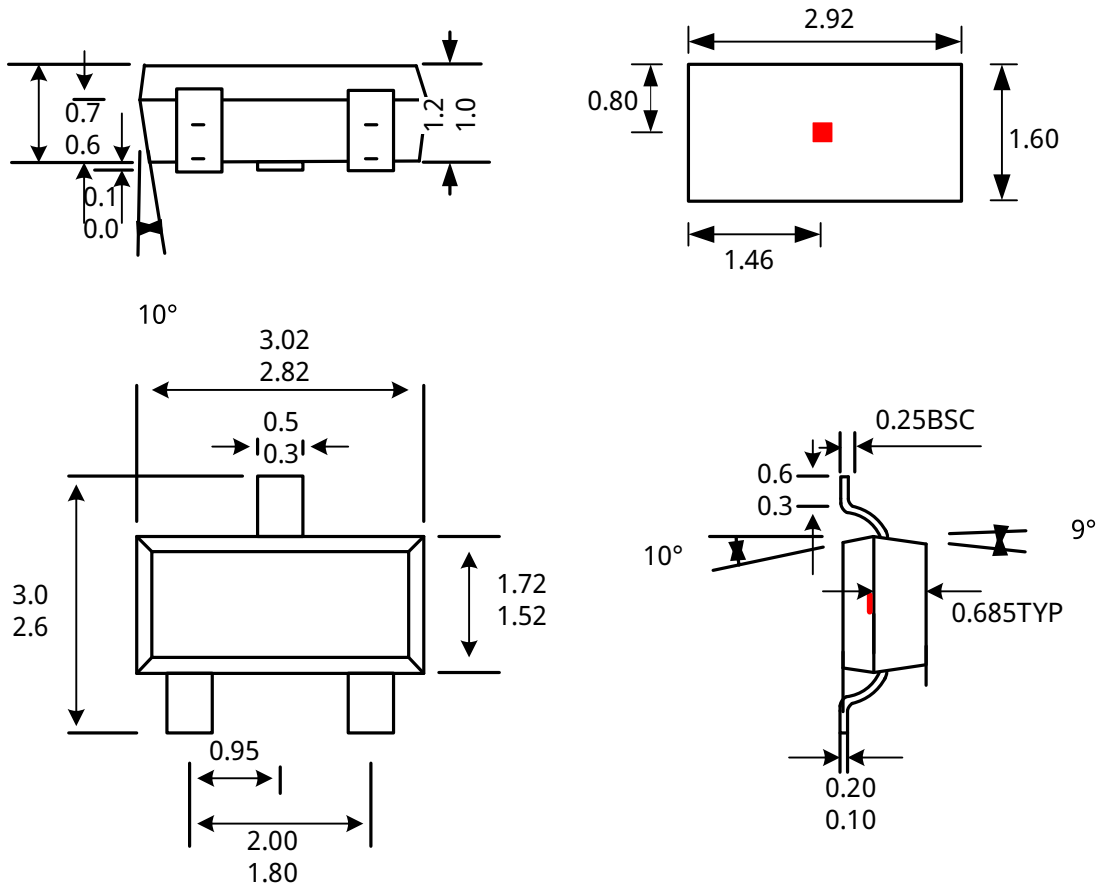
注：

- 1、供应商可选的实际本体和管脚形状、尺寸位于图示范围内
  - 2、高度不包括模具浇口溢料
- 若未指定公差，则尺寸为公称尺寸

### 15. 封装信息 “SO”

3-脚  
SO封装

单位: mm



注:

1. 供应商可选的实际本体和管脚形状尺寸位于图示范围内。
  2. 高度不包括模具浇口溢料。
- 如果未指定公差，则尺寸为公称尺寸。

## 16. 历史版本

版本号	日期	描述
Rev0.1	2017-03-22	初始版本
Rev2.3	2018-05-06	旧本规格书最终版本号
Rev.A1.0	2020-11-19	统一格式发布
Rev.A1.1	2025-03-16	修改 VDD/VOUT 耐压, 增加 SO 封装